

図-6 腐食速度指標経時変化

くなるものも存在し、今回用いた Cl^- 量測定の試験方法は不適切である可能性もあると考えられる。

コンクリート中の可溶性塩分量と腐食減量との関係を図-5に示す。この図より、可溶性塩分量が多いほど腐食減量は大きくなる傾向を示している。しかし、混入 Cl^- 量が $6\text{kg}/\text{m}^3$ 以上の場合、高炉スラグ微粉末を使用した場合の方が、可溶性塩分量が大きいにもかかわらず、腐食減量が小さいという結果となった。前述のように、多量の塩化物イオンが存在する場合には、今後その測定方法に関して詳細な検討が必要であると考えられるが、今回の測定結果からは、高炉スラグ微粉末を混入することにより腐食減量が減少することから、高炉スラグ微粉末には鉄筋腐食を抑制する効果があることが確認できた。

3.3 鉄筋腐食モニタリング

腐食減量は、分極抵抗と以下の関係がある。

$$G = K \times M / 2Fa \times \int (1/R_p) dt \quad (1)$$

G:腐食減量(g/m^2), M:鉄の原子量($=55.8$), Fa: ファラデー数($=96500\text{C}$), Rp: 分極抵抗($\Omega \cdot \text{m}^2$), K: 比例定数(V)

そこで、分極抵抗の逆数を腐食速度指標と呼ぶこととし、その経時変化を図-6に示す。この図によると、 Cl^- 量が多いほど腐食速度指標は大きくなる傾向にあり、腐食が確実に進んでいくと考えられる。また、混入 Cl^- 量 $1, 3\text{kg}/\text{m}^3$ の場合、高炉スラグ微粉末の有無に関わらず腐食速度指標は同程度の小さな値を示しており、明確には影響が確認できなかった。しかし、混入 Cl^- 量 $6\text{kg}/\text{m}^3$ の場合、高炉スラグ微粉末を用いた場合の方が、腐食速度指標は小さな値を示しており、腐食減量の調査から得られた結果と同様に、高炉スラグ微粉末には腐食速度を抑制する効果があると考えられる。また、石こうの有無で比較した場合、石こうを用いた場合の方が若干腐食速度は大きいが、あまり顕著な影響は見られなかった。

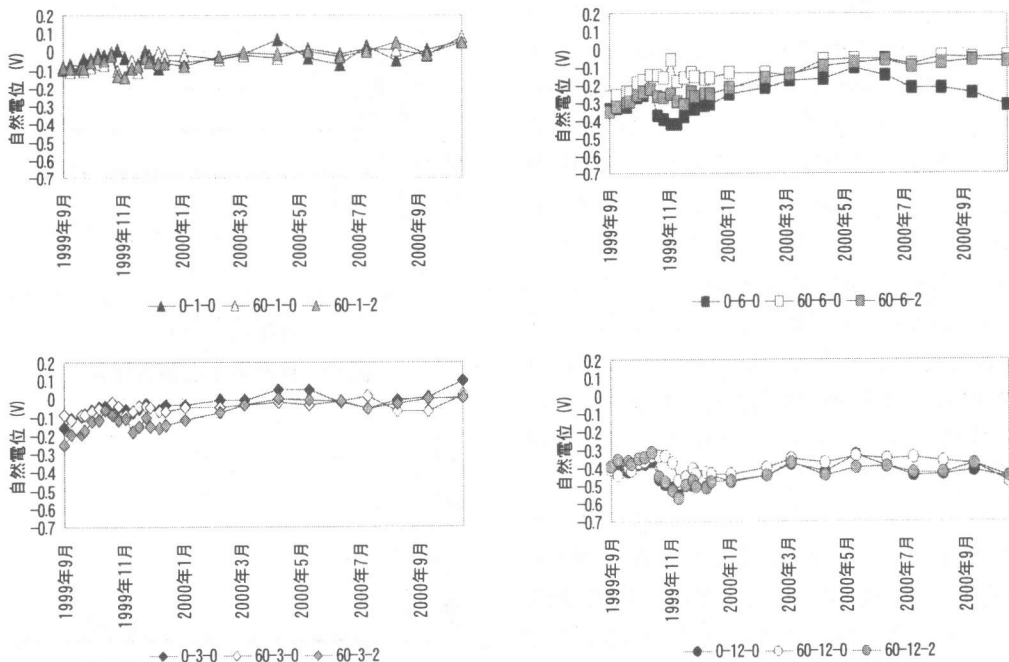


図-7 自然電位経時変化

つぎに、分極抵抗と同時に測定した自然電位の経時変化を図-7 に示す。図-7 によると Cl^- 量が大きいほど自然電位は卑になり、腐食の傾向が大きいものと考えられる。また、混入 Cl^- 量 $3\text{kg}/\text{m}^3$ 以下の場合、高炉スラグ微粉末の有無に関わらず自然電位は同程度の値を示しており、その影響が確認できなかった。しかし、混入 Cl^- 量 $6\text{kg}/\text{m}^3$ の場合、材齢 270 日以降では、高炉スラグ微粉末無混入の配合 0-6-0 は、ASTM 規準²⁾によれば腐食領域 (-0.24V vs. Ag/AgCl 以下) の値を示しているのに対し、高炉スラグ微粉末を混入した配合 60-6-0, 60-6-2 は非腐食領域 (-0.09V vs. Ag/AgCl 以上) の値を示している。したがって、腐食減量、分極抵抗の場合と同様に Cl^- 量 $6\text{kg}/\text{m}^3$ 程度の場合、高炉スラグ微粉末の影響が最も顕著であった。

しかし、配合 60-6-0, 60-6-2 のいずれも図-2 に示したように腐食が生じている。したがって高炉スラグ微粉末を用いたコンクリートに対し

ては、前述の ASTM 基準は適応できない可能性があると考えられる。

一方、石こうの影響であるが、高炉スラグ微粉末を混入して石こうの有無で比較した場合、自然電位には若干卑の傾向があるが、あまり顕著な影響はみられなかった。

3.4 鉄筋腐食モニタリングと腐食減量の関係

材齢 491 日の時点での腐食減量と分極抵抗あるいは自然電位との関係を図-8, 9 に示す。図-8 より腐食減量と自然電位は比較的良い相関関係にあり、腐食減量が大きいほど自然電位は卑になることを示している。しかし、図-8 と図-9 を比較すると、腐食減量とより相関が高いのは分極抵抗であり、自然電位の場合よりも腐食の有無の境界が明瞭である。そこで、図-9 から鉄筋腐食に関する分極抵抗による判定基準として、以下を提案する。

重畠矩形波法を用いた場合、(単位: $\Omega \cdot \text{m}^2$)

$$R_p < 0.5$$

腐食領域

$$0.5 < R_p < 5.0$$

不確定領域

